

ДИНАМІЧНІ ХАРАКТЕРИСТИКИ КОНТУРА НУЛЬОВОЇ ПОСЛІДОВНОСТІ КОМПЕНСОВАНОЇ МЕРЕЖІ

Кобазєв В.П., Гребченко М.В., Іванова Л.І.

Донецький національний технічний університет

c12@elf.dgut.donetsk.ua

The paper describes the frequency-response characteristics of compensated electric network at sudden feeding on zero sequence loop the phase voltage over supplementary capacity. The expressions for their calculation are got. By these expressions the frequency-response characteristics at different values of high quality network factor at the changing of tuning degree of arc-suppression reactor are calculated and built with help of COMPUTER. Given results are offered to take into account at the elaboration of phase-measuring devices for relay protection and automation.

Постановка задачі. В електрических мережах напругою 6, 10, 35 кВ для підвищення надійності широко використовуються пристрої захисту від однофазних замикань на землю і автоматичної компенсації емністного струму мережі за допомогою дугогасного реактора [1, 2]. При цьому як в пристоях релейного захисту, так і системах автоматичного настроювання дугасного реактора використовується вимірювання в усталеному режимі фази сигналів, що контролюються. При зміні параметрів мережі змінюються також і амплітуди і фази сигналів, що контролюються вказаними пристроями. Для відстроювання від впливу переходного процесу в цих пристроях використовується витримка часу, яка вибирається апріорно. Для мінімізації витримки часу необхідно врахування динамічних властивостей мережі. Таким чином аналіз динамічних характеристик компенсованої мережі є актуальна задача.

Аналіз останніх досліджень. При розгляді математичної моделі, що описує функціонування пристройів релейного захисту і автоматики, що використовують фазовий принцип при побудові вимірювальних органів, вплив динамічних властивостей мережі не враховується [3, 4]. Однак при розробці нових швидкодіючих пристройів ця витримка повинна бути мінімізована.

Задача досліджень. Отримати співвідношення для розрахунку переходних амплітудних і фазових характеристик компенсованої електричної мережі в залежності від ступеня настроювання дугогасного реактора ν і коефіцієнта добротності мережі d . Виконати аналіз впливу параметрів мережі на її переходну характеристику.

Виклад основного матеріалу. Для розрахунку переходних характеристик контуру нульової послідовності мережі розглянемо його підключення до фазної напруги через додаткову ємність. Для цього скористаємося однофазною схемою заміщення, яка приведена на рис. 1.

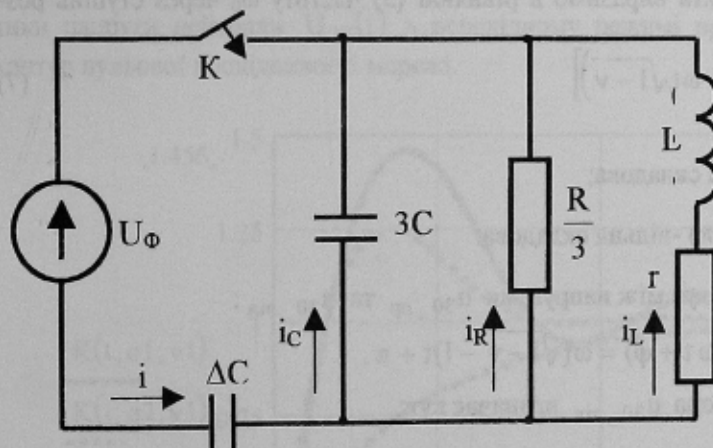


Рис. 1 – Однофазна схема заміщення мережі

на скласти наступну систему диференціальних рівнянь:

$$\begin{aligned}
 &1) U_{30} = \frac{1}{3C} \cdot \int i_C \cdot dt \quad 2) U_{30} = i_R \cdot \frac{R}{3} \\
 &3) U_{30} = L \cdot \frac{di_L}{dt} + i_L \cdot r \quad 4) U_\Phi = \frac{1}{\Delta C} \int i \cdot dt \cdot U_{30} \\
 &5) i = i_L + i_C + i_R
 \end{aligned} \tag{1}$$

Після елементарних перетворень рівняння (1) з метою встановлення зв'язка фазної напруги з напругою зсуву нейтралі при врахуванні того, що $\Delta C \leq 3C$ і $r \leq R$, одержимо таке диференціальне рівняння:

$$\frac{d^2 U_{30}}{dt^2} + \left(\frac{r}{L} + \frac{1}{RC} \right) \cdot \frac{dU_{30}}{dt} + \frac{1}{3CL} \cdot U_{30} = \frac{\Delta C}{3C} \cdot \frac{d^2 U_\phi}{dt^2} + \frac{\Delta C r}{3CL} \cdot \frac{dU_\phi}{dt}. \quad (2)$$

Перехідний процес напруги $U_{30}(t)$ у розглянутому електричному колі (рис.1) можна одержати шляхом аналітичного рішення рівняння (2), що є неоднорідним лінійним диференціальним рівнянням другого порядку. Рішення цього рівняння представляється сумаю загального рішення однорідного диференціального рівняння:

$$\frac{d^2 U_{30}}{dt^2} + \left(\frac{r}{L} + \frac{1}{RC} \right) \cdot \frac{dU_{30}}{dt} + \frac{1}{3CL} \cdot U_{30} = 0. \quad (3)$$

і часткового рішення неоднорідного рівняння (2). Рівняння (3) характеризує вільну складової напруги $U_{30_віл}(t)$. Приватним рішенням неоднорідного рівняння (2) при східчастій зміні фазної напруги U_ϕ буде нове значення напруги $U_{30_пр}(t)$, що установилося після закінчення перехідного процесу. Таким чином, перехідна напруга $U_{30}(t)$ є сумаю примушеної і вільної складових:

$$U_{30}(t) = U_{30_пр}(t) + U_{30_віл}(t). \quad (4)$$

Вирішуючи рівняння (3) класичним методом з урахуванням початкових умов і законів комутації, одержимо вираз для перехідного процесу напруги нейтралі:

$$U_{30}(t) = \sqrt{2} U_{30}(v) \left[\sin(\omega t + \varphi) - e^{-\sigma t} \sin(\omega_0 t + \varphi) \right]. \quad (5)$$

де $U_{30}(v)$ ефективне значення напруги нейтралі; φ - фазовий кут напруги нейтралі; ω_0 - декремент затухання вільної складової;

$$\sigma = \frac{r}{2L} + \frac{1}{2RC} \approx \frac{\omega d}{2} \text{ - дійсна частина кореня характеристичного рівняння (3);} \quad (6)$$

$$\omega_0 = \sqrt{\left(\frac{r}{2L} + \frac{1}{2RC} \right)^2 - \frac{1}{3LC}} \text{ - мініма частина кореня того ж характеристичного рівняння або кутова}$$

частота вільних коливань у контурі RLC.

Напруга $U_{30}(v)$ і кут φ є статичними характеристиками об'єкта в залежності від ступеня розстроювання компенсації :

$$U_{30}(v) = \frac{\delta C}{\sqrt{d^2 + v^2}} U_\phi \quad \varphi = \arctg \frac{v}{d} \quad \text{де } \delta = \frac{\Delta C}{3C} \text{ - відносна ємнісна асиметрія мережі.}$$

Для аналізу перехідних характеристик об'єкта виразимо в рівнянні (5) частоту ω_0 через ступінь розстройки v . В результаті отримаємо:

$$U_{30}(t) = \sqrt{2} U_{30}(v) \left[\sin(\omega t + \varphi) - e^{-\sigma t} \cdot \sin(\varphi + \omega t \sqrt{1-v}) \right] \quad (7)$$

В цьому рівнянні:

$$u_{30_пр} = \sqrt{2} \cdot U_{30}(v) \cdot \sin(\omega t + \varphi) \text{ - примусова складова;}$$

$$u_{30_віл} = \sqrt{2} \cdot U_{30}(v) \cdot e^{-\sigma t} \sin(\varphi + \omega t \sqrt{1-v} + \gamma + \pi) \text{ - вільна складова.}$$

В будь-який момент часу перехідного процесу кут між напругами $u_{30_пр}$ та $u_{30_віл}$:

$$\Delta\varphi(t) = \varphi_{віл}(t) - \varphi_{пр}(t) = \omega \sqrt{1-v} \cdot t + \pi - (\omega t + \varphi) = \omega(\sqrt{1-v} - 1)t + \pi.$$

Таким чином, в момент часу t положення вектора $u_{30_віл}$ визначає кут:

$$\varphi_{віл}(t) = \varphi + \Delta\varphi(t) = \pi + \varphi = \omega(\sqrt{1-v} - 1)t.$$

Для визначення кута напруги зсуву нейтралі залежно від часу визначимо проекції векторів $u_{30_пр}$ та $u_{30_віл}$ на вісі x і y декартової системи координат.

$$\text{Вектор } \bar{U}_{віл}: \quad U_{віл_x} = \sqrt{2} U_{30}(v) \cdot e^{-\sigma t} \cdot \sin(\varphi + \omega(\sqrt{1-v} - 1)t),$$

$$U_{віл_y} = \sqrt{2} U_{30}(v) \cdot e^{-\sigma t} \cdot \cos(\varphi + \omega(\sqrt{1-v} - 1)t);$$

$$\text{вектор } \bar{U}_{пр}: \quad U_{пр_x} = \sqrt{2} \cdot U_{30}(v) \cdot \sin(\varphi),$$

$$U_{пр_y} = \sqrt{2} \cdot U_{30}(v) \cdot \cos(\varphi).$$

З врахуванням проекцій векторів знайдемо кут напруги зсуву нейтралі в момент часу t :

$$\begin{aligned}\varphi'(t) &= \operatorname{arctg} \frac{U_{\text{віл_x}} + U_{\text{пр_x}}}{U_{\text{віл_y}} + U_{\text{пр_y}}} = \operatorname{arctg} \frac{\sin(\varphi) + e^{-\sigma t} \cdot \sin(\pi + \varphi + \omega(\sqrt{1-v}-1)t)}{\cos(\varphi) + e^{-\sigma t} \cdot \cos(\pi + \varphi + \omega(\sqrt{1-v}-1)t)} = \\ &= \operatorname{arctg} \frac{\sin(\varphi) - e^{-\sigma t} \cdot \sin(\varphi + \omega(\sqrt{1-v}-1)t)}{\cos(\varphi) - e^{-\sigma t} \cdot \cos(\varphi + \omega(\sqrt{1-v}-1)t)}.\end{aligned}$$

Усі вектори, що наведені на рис. 2.2, рис. 2.3 обертаються проти стрілки годинника, як це прийнято для зображення синусоїдальних величин на комплексній площині. Однак, вектор вільної складової напруги нейтраплі або випереджає, або відстає від вектора примусової складової в залежності від знака розстройки дугогасного реактора.

Абсолютні значення вектора \bar{U}_{30} залежно від часу знайдемо за співвідношенням:

$$\begin{aligned}\bar{U}_{30}(t) &= \sqrt{(U_{\text{віл_x}} + U_{\text{пр_x}})^2 + (U_{\text{віл_y}} + U_{\text{пр_y}})^2} = \sqrt{2} U_{30}(v) \cdot \\ &\cdot \sqrt{(\sin \varphi - e^{-\sigma t} \cdot \sin(\varphi + \omega(\sqrt{1-v}-1)t))^2 + (\cos \varphi - e^{-\sigma t} \cdot \cos(\varphi + \omega(\sqrt{1-v}-1)t))^2}.\end{aligned}$$

Після перетворень отриманого виразу отримаємо співвідношення для напруги зсуву нейтралі компенсованої мережі залежно від часу:

$$U_{30}(t) = \sqrt{2} U_{30}(v) \cdot \sqrt{1 - e^{-\sigma t} \cdot (\cos(\omega \cdot (\sqrt{1-v}-1) \cdot t) + e^{-\sigma t})}.$$

У показовій формі рівняння (7) має вигляд

$$U_{30}(t) = \sqrt{2} U_{30}(v) e^{j(\omega t + \varphi)} - \sqrt{2} U_{30}(v) e^{-\frac{\omega d}{2} t} \cdot e^{j(\varphi + \omega t \sqrt{1-v})} \quad (8)$$

Для побудови фазових переходних характеристик об'єкта скористаємося рівнянням (8). Після нескладних перетворень одержимо:

$$U_{30}(t) = \sqrt{2} U_{30}(v) K(t) e^{j(\omega t + \varphi)}, \text{ де} \quad (9)$$

$$K(t) = \sqrt{1 - e^{-\sigma t} \left(2 \cos \omega \cdot (\sqrt{1-v}-1) \cdot t + e^{-\sigma t} \right)}, \quad (10)$$

$$\varphi'(t) = \operatorname{arctg} \frac{\sin(\varphi) - e^{-\sigma t} \cdot \sin(\varphi + \omega(\sqrt{1-v}-1)t)}{\cos(\varphi) - e^{-\sigma t} \cdot \cos(\varphi + \omega(\sqrt{1-v}-1)t)}. \quad (11)$$

На рис. 2 – рис. 6 згідно співвідношень (10) і (11) побудовані амплітудні $K(t)$ і фазові $\varphi'(t)$ характеристики напруги нейтраплі $U_{30}(t)$ в переходному режимі при ралтовій подачі синусоїдальної напруги U_Φ на контур нульової послідовності мережі.

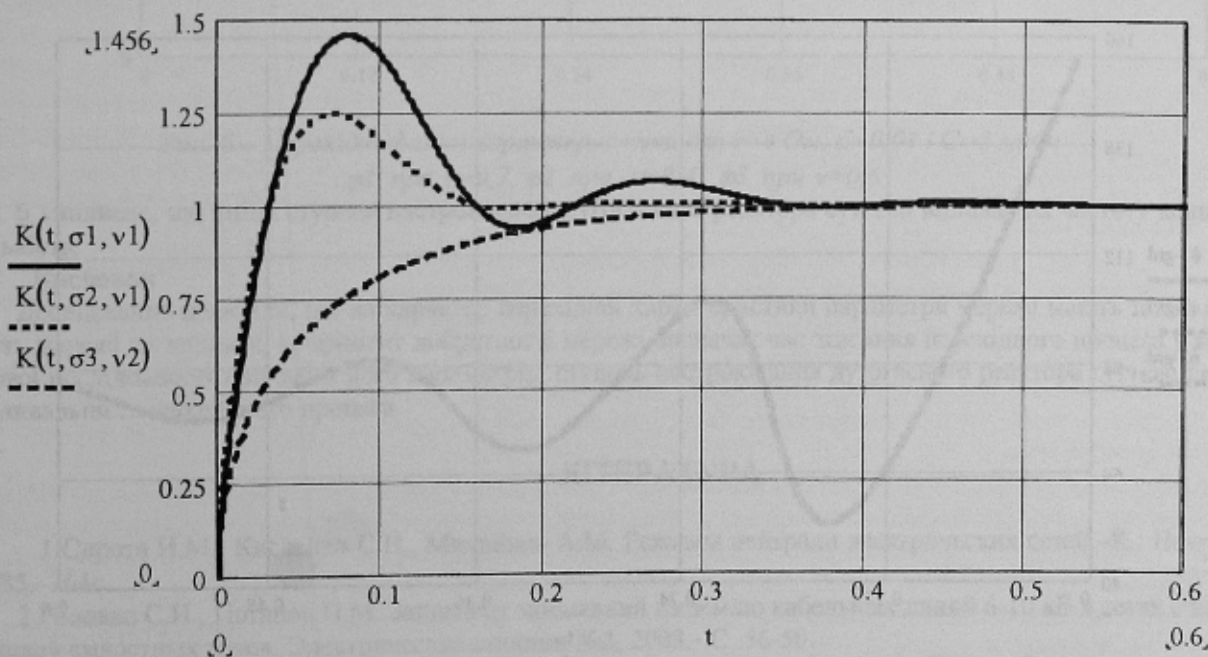


Рис. 2 – Переходні амплітудні характеристики: $K(t, \sigma 1, v1)$ для $C=6 \text{ мкФ}$ і $r=4 \text{ Ом}$ при $v=0,2$ $d=0,03$; $K(t, \sigma 2, v1)$ при $v=0,2$ $d=0,05$; $K(t, \sigma 3, v2)$ при $v=0,0$ $d=0,03$

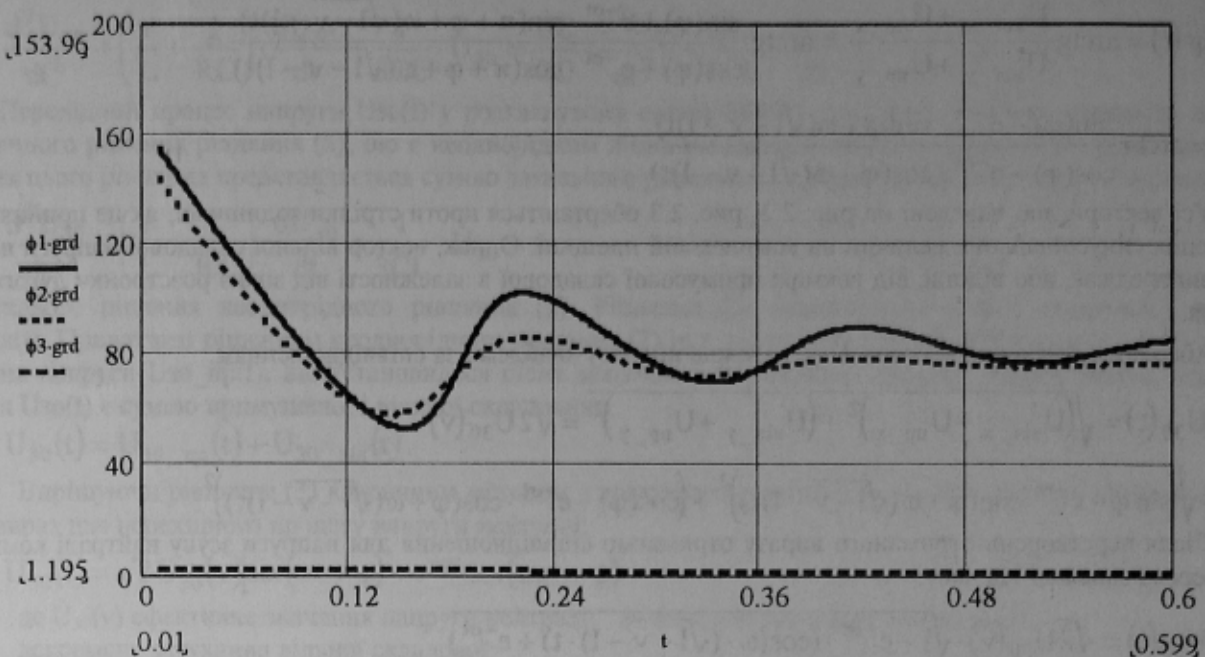


Рис.3 – Переходні фазові характеристики для $C=6 \text{ мкФ}$ і $r=4 \text{ Ом}$: $\phi 1$ при $v=0,2$ $d=0,03$;
 $\phi 2$ при $v=0,2$ $d=0,05$; $\phi 3$ при $v=0,1$ $d=0,03$.

Розрахунок $K(t)$ при $d = 0,05$ згідно рис. 2 показав, що час переходного процесу складає $t = 3\tau = 0,38 \text{ с}$. У пристроях релейного захисту і системах вимірювання ступеня настроювання дугогасного реактора по фазових характеристиках напруги нейтралі вихідним параметром об'єкта, на який повинна реагувати вимірювальна схема, є фазовий кут ϕ' . Тому переходні характеристики компенсованої електричної мережі необхідно враховувати при розробці фазових вимірювальних пристройів для визначення ступеня настроювання дугогасного реактора або напрямку току замикання на землю в пристроях захисту.

Розглянемо вплив ємності мережі, добробутності і ступеня настроювання дугогасного реактора. Для цього виконамо розрахунки фазових характеристик при умові, що змінюється тільки той параметр, вплив якого досліджується. Результати розрахунку приведені на рис. 4 – рис. 6.

На рис. 4 показаний вплив ємності мережі на від фазової характеристики. Результати розрахунку свідчать, що усі три кривих співпадають, тому можна вважати, що величина ємності мережі на вид фазової характеристики не впливає. На рис. 5 приведені фазові характеристики побудовані при трьох різних значеннях коефіцієнта добробутності мережі. Аналіз кривих показує, що добробутність суттєво впливає на час згинання переходного процеса.

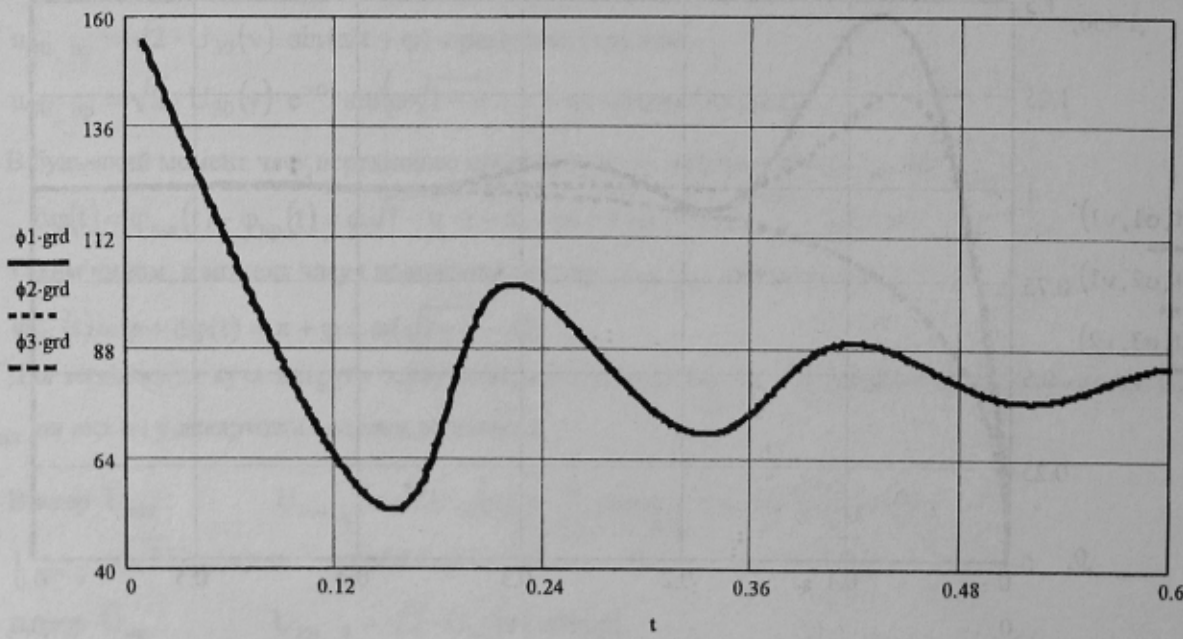


Рис.4 – Переходні фазові характеристики для $r=4 \text{ Ом}$, $v=0,2$ і $d=0,03$:
 $\phi 1$ при $C=3 \text{ мкФ}$, $\phi 2$ при $C=6 \text{ мкФ}$, $\phi 3$ при $C=12 \text{ мкФ}$.

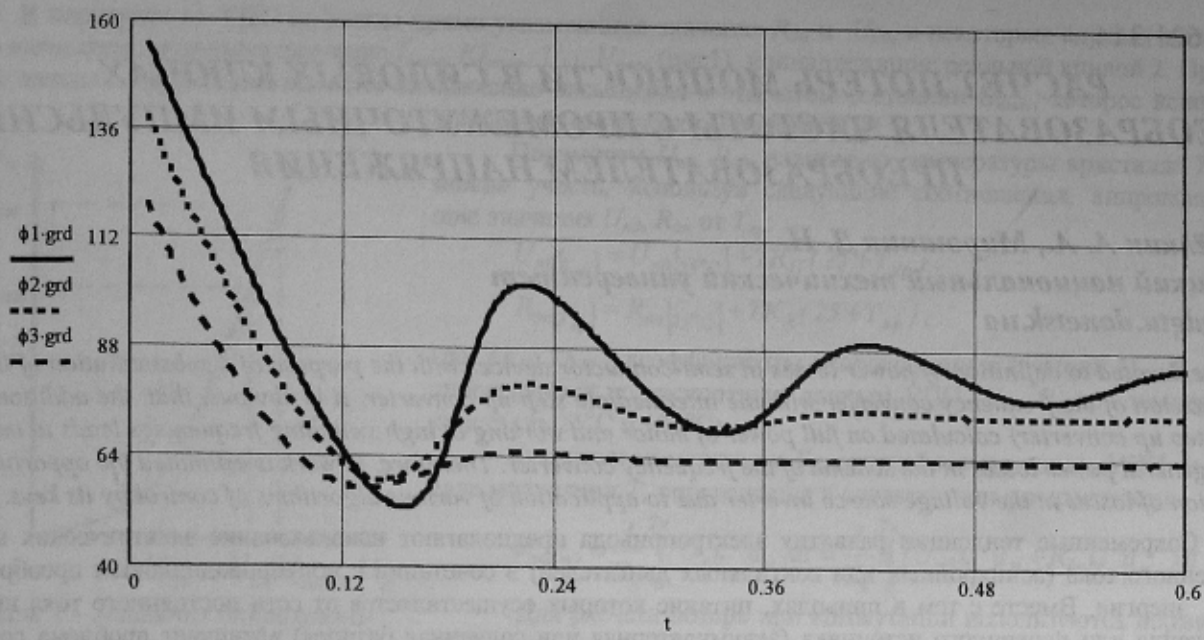


Рис. 5 – Переходні фазові характеристики для $r=4 \text{ Ом}$, $v=0,2$ і $C=3 \text{ мкФ}$:
 $\varphi 1$ при $d=0,03$, $\varphi 2$ при $d=0,06$, $\varphi 3$ при $d=0,1$.

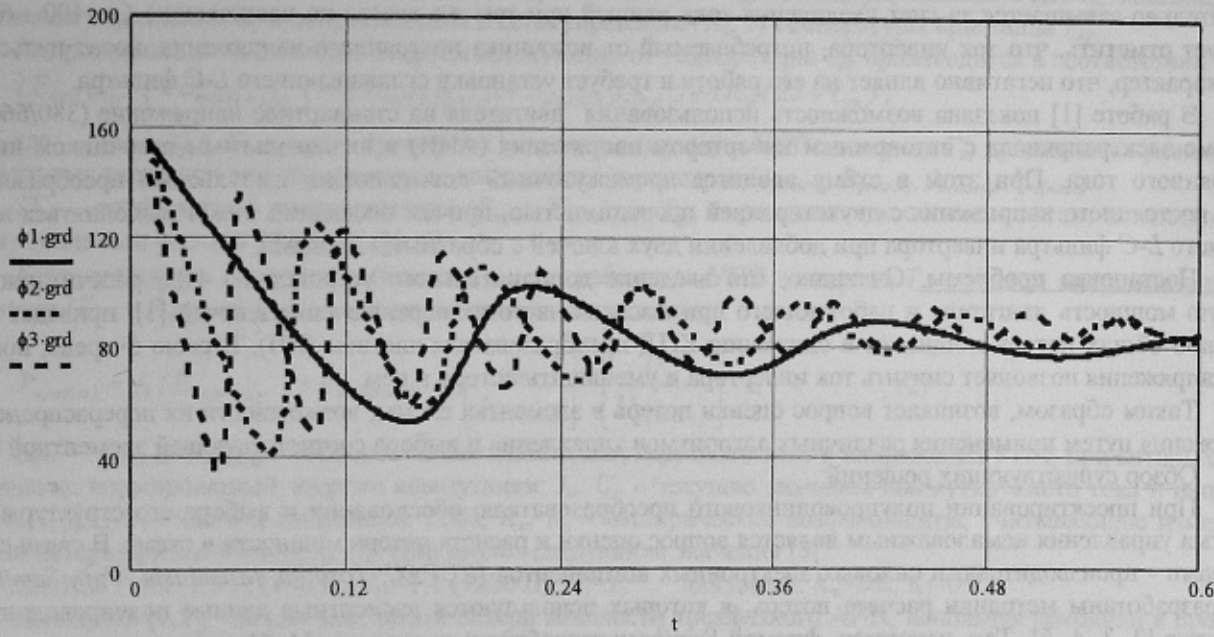


Рис. 6 – Переходні фазові характеристики для $r=4 \text{ Ом}$, $d=0,03$ і $C=3 \text{ мкФ}$:
 $\varphi 1$ при $v=0,2$, $\varphi 2$ при $v=0,4$, $\varphi 3$ при $v=0,6$

З рис. 6 випливає, що зміна ступеня настроювання дугогасного реактора суттєво впливає на частоту коливань і їх кількість.

Висновок

Дослідження показали, що на характер переходної характеристики параметри мережі мають такий вплив: емність мережі не впливає, коефіцієнт добробутності мережі визначає час згасання переходного процеса у контурі нульової послідовності при зміні його параметрів, ступень настроювання дугогасного реактора суттєво впливає на коливальність переходного процеса.

ЛІТЕРАТУРА

- Сирота И.М., Кисленко С.Н., Михайлов А.М. Режимы нейтрали электрических сетей.–К.: Наук. думка, 1985.–264с.
- Головко С.И., Потапов П.М. Защита от замыканий на землю кабельных линий 6-10 кВ в сетях с компенсацией емкостных токов. Электрические станции №2, 2003.- С. 56-50.
- Ершов А.М., Петров С.А. Амплитудно-фазовые характеристики сети. Енергетика. Известия вузов №5, 1980.- С. 23-27.
- Коневский Я.М. Защита от однофазных замыканий в сетях 6 кВ собственных нужд ТЭЦ с двумя режимами заземления нейтрали. Электрические станции №10, 2003.- С. 46-49.